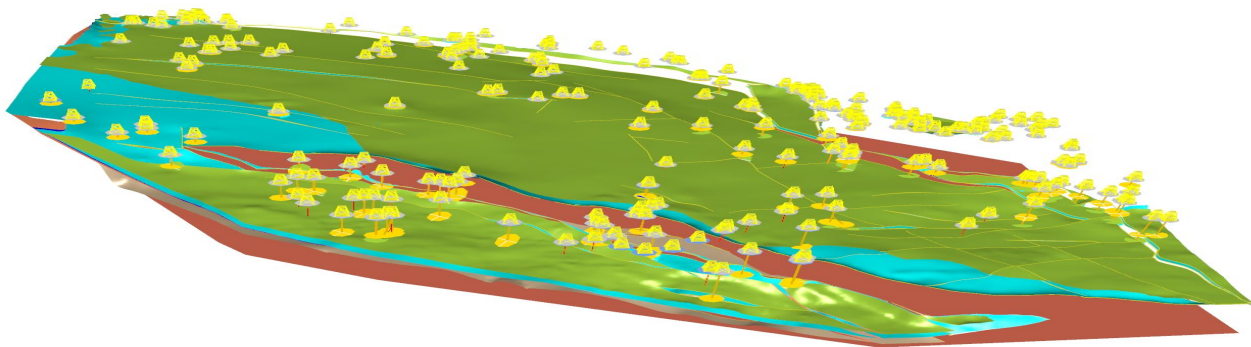




Geologisches 3D-Modell Niederbayern

Status: Schematisches Volumenmodell

Anhänge



geologie



Geologisches 3D-Modell Niederbayern

Anhang 1: Eingangsdaten

- Strukturlinien

- Bohrungen

1 Strukturlinien

Tab. 1: Störungen und ihre Kenngrößen.

Name SKUA	Name LfU / GBA StörungsDB	ID LfU / GBA StörungsDB	Fallrichtung	Fallwinkel	Maximaler vertikaler Versatz	Bewegungsrichtung
Donaurand-	Donaurandbruch	DE-BY_698	S-SSW	70°	ca. 1 km	Mehrphasig
Kalkbergstörung	Kalkberg Stö-	DE-BY_760	SE	80°	ca. 400 m	Mehrphasig
Keilbergstörung	Keilberg Störung	DE-BY_761	W	80°	ca. 1 km	Aufschiebung
Landshut- Neuöttinger Nordrandstö-						Aufschleppung
Paläodo- naurandbruch	Aicha-Halser Nebenpfahl	DE-BY_762		90°	unklar	Mehrphasig
Pfarrkirchener Störung	Pfarrkirchen Störung	DE-BY_763	E	60°	ca. 800 m	Abschiebung (konjugiert)
Pockinger (Rieder) Ab- bruch	Pockinger Abbruch	DE-BY_699	W -SW	80°	ca. 1 km	Mehrphasig (Abschiebung)
	Ried Störung	AT_10654	W -SW	80°		
Schierling-	Schierling Stö-	DE-BY_752	S	70°	-	Abschiebung
Schwaimer Abbruch	Aidenbach- Griesbach Ab-	DE-BY_764	SSW	80°	ca. 1 km	Mehrphasig (Abschiebung)
Wolfachstörung	Wolfach Störung	DE-BY_751	SW	80°	170 m	Mehrphasig
Fault01	Hagelstadt- Oberschneiding Störung	DE-BY_931	N	70°	-	Abschiebung
Fault02	Osterhofener Abbruch	DE-BY_1241	W	70°	-	Abschiebung
Fault03	Aidenbach- Griesbach Ab-	DE-BY_764	W	70°	-	Mehrphasig (Abschiebung)
Fault04	Rotthalmünster Störung	DE-BY_1236	S	85°	-	Abschiebung
Fault05	Mauerkirchen Störung	AT_10654	NE	85°	-	Abschiebung
Fault06	Fornach Störung	AT_10656	NE	85°	-	Abschiebung
Fault07	Nonsbach Stö- rung	AT_10657	N	85°	-	Abschiebung
Fault08	Altheim Störung	AT_10661		90°	-	Abschiebung
Fault09	Aslkam Störung	AT_10657		90°	-	Abschiebung
Fault10	Nonsbach Stö- rung	AT_10657		90°	-	Abschiebung
Fault11	Aspach Störung	AT_10662	N	85°	-	Abschiebung

Name SKUA	Name LfU / GBA StörungsDB	ID LfU / GBA StörungsDB	Fallrichtung	Fallwinkel	Maximaler vertikaler Versatz	Bewegungsrichtung
Fault12	Roith Störung	AT_10659	N	85°	-	Abschiebung
Fault13	Handenberg Störung	AT_10665	SW	70°	-	Aufschiebung
Fault14	Eggelsbach Störung	AT_10663	S	80°	-	Aufschiebung
Fault15	Geinberg-Simbach Störung	AT_10658	N	70°	-	Abschiebung
Fault16	Steindlberg Störung	AT_10664		90°	-	Abschiebung
Fault18	Grasset-Wechselberg Störung	DE-BY_1224	SW	70°	-	Aufschiebung
Fault21	Flintsbach-Pleinting Störung	DE-BY_1240	W	80°		Abschiebung
Fault22	Flintsbach Störung	DE-BY_1238	NW	80°		Abschiebung
Fault24	Paläo-Donaurandbruch	DE-BY_1237		90°		Abschiebung
Fault27	Landshut Stö-	DE-BY_704	E	85°		Abschiebung
Fault28	Landshut-Neuötting Hauptabbruch	DE-BY_701	SW-S	70°		Abschiebung
Fault30	Landshut-Neuötting Abbruchstufe 2	DE-BY_702	SW	70°		Abschiebung
Fault31	Landshut-Neuötting Abbruchstufe 3	DE-BY_703	SW	70°		Abschiebung
Fault32	Köfering Stö-	DE-BY_928	N	70°		Abschiebung
Fault 33	Straubing Stö-	DE-BY_924	NE	70°		Abschiebung
Fault34	Plattling Störung	DE-BY_925	NE	70°		Abschiebung
Fault36	Pfarrkirchen Störung	DE-BY_763	NE	70°		Abschiebung
Fault38	Landshut-Neuötting Hauptabbruch	DE-BY_701	SW-S	70°	ca. 1 km	Abschiebung
Fault39	Landshut-Neuötting Hauptabbruch	DE-BY_701	SW	85°		Abschiebung

Name SKUA	Name LfU / GBA StörungsDB	ID LfU / GBA StörungsDB	Fallrichtung	Fallwinkel	Maximaler vertikaler Versatz	Bewegungsrichtung
Fault40	Perach Störung	DE-BY_862	SW	85°		Aufschiebung
Fault41	Dingolfing Störung	DE-BY_783	SW	70°		Abschiebung
Fault42	Rottenburg-Aham Störung	DE-BY_784		90°		Abschiebung
Fault43	Hohenthann-Wolkersdorf Stö-	DE-BY_786		90°		Abschiebung
Fault44	Oberschneiding Querstörung	DE-BY_923	SE	85°		Abschiebung
Fault45	Landau Störung	DE-BY_1226		90°		Abschiebung
Fault46	Haunersdorf-Perbing Störung	DE-BY_1228	S	85°		Abschiebung
Fault47	Jägerndorf-Holzhamm Stö-	DE-BY_1229	E	80°		Abschiebung
Fault48	Jägerndorf-Schwarzenstein Störung	DE-BY_1230		90°		Abschiebung
Fault49	Holzhamm-Lanzing Störung	DE-BY_1231	N	85°		Abschiebung
Fault50	Hirschbach Störung	DE-BY_1232	N	70°		Abschiebung
Fault52	Stubenberg-Malching Stö-	DE-BY_1235	S	70°		Abschiebung
Fault53	Gumpersdorf-Schellenberg Störung	DE-BY_1234	N	70°		Abschiebung
Fault54	Wurmannsquick-	DE-BY_1233	NE	85°		Aufschiebung
Fault55	Furth Störung	DE-BY_705	E	70°		Abschiebung

Name SKUA	Einfalls- richtung	Fallwinkel	Bearbeitet	Maximaler ver- tikaler Versatz	Bewegungs- richtung
Fault21	W	90	Ja	-	Abschiebung
Fault22	NW	90	Ja	-	Abschiebung
Fault24	SSW	90	Ja	-	Abschiebung
Fault27	E	90	Ja	-	Abschiebung
Fault28	SW	70	Ja	-	Abschiebung
Fault30	SW	70	Ja	-	Aufschiebung
Fault31	SW	70	Ja	-	Aufschiebung
Fault32	N	70	Ja	-	Abschiebung
Fault34	N	70	Ja	-	Abschiebung
Fault36	N	70	Ja	-	Abschiebung
Fault38	W	70	Ja	-m	Abschiebung
Fault39	W	90	Ja		Aufschiebung
Fault40	SW	90	Ja		Aufschiebung
Fault41	SW	70	Ja		Abschiebung
Fault42	SW	90	Ja		Abschiebung
Fault43	SW	90	Ja		Abschiebung
Fault44	E	90	Ja		Abschiebung
Fault45	E	90	Ja		Abschiebung
Fault46	E	90	Ja		Abschiebung
Fault47	W	80	Ja		Abschiebung
Fault48	N	90	Ja		Abschiebung
Fault49	E	90	Ja		Abschiebung
Fault50	S	70	Ja		Abschiebung
Fault52	S	70	Ja		Abschiebung
Fault53	S	70	Ja		Abschiebung
Fault54	E	90	Ja		Aufschiebung

2 Bohrungen

Tab. 2: Verwendete Bohrungen aus dem BIS

BIS_ID	BIS_ID	BIS_ID
6938BG000005	7139BG000038	7342BG000705
6938BG000006	7139BG015012	7343BG000007
6938BG000007	7139BG015055	7343BG000108
6938BG000008	7139BG015060	7343BG000177
6938BG000011	7140BG000027	7343BG000179
6938BG000012	7140BG000049	7343BG000181
6938BG000015	7140BG015220	7344BG000007
6938BG000016	7141BG000010	7344BG000037
6938BG000404	7141BG000015	7344BG015076
6938BG000603	7141BG000032	7344BG015312
6938BG000615	7141BG000033	7344BG015329
6938BG000632	7142BG000005	7344BG015605
6938BG015118	7142BG000023	7344BG015606
6938BG015753	7142BG015155	7344EB000015
6939EB015010	7143BG000012	7345BG000009
6939EB015073	7143BG000013	7345BG015024
6940BG015102	7143BG000047	7345BG015025
7039BG000047	7143BG015185	7345BG015096
7040BG000075	7143EB000007	7345BG015115
7040BG015297	7242BG000020	7345BG015134
7040EB000004	7242BG000021	7444BG000083
7041BG000001	7243BG000200	7444BG015014
7041BG000005	7243BG000201	7444BG015052
7041BG000006	7243BG000202	7445BG000004
7041BG000007	7243BG000225	7445BG000005
7041BG015111	7244BG000112	7445BG000009
7041BG015169	7244BG000116	7445BG000020
7041BG015487	7244BG000178	7445BG000022
7041EB000003	7244BG015156	7445BG000039
7042BG000022	7244BG015322	7445BG000040
7042BG000031	7244BG015325	7445BG000051
7042BG000051	7244BG015330	7445BG000052
7042BG000053	7244BG015333	7445BG000056
7042BG000143	7244BG015339	7445BG000058
7138BG000247	7244BG015364	7445BG000063
7138BG000248	7244BG016155	7445BG000068
7138BG000249	7340BG015366	7445BG000086
7138BG000256	7341BG000425	7446BG000011
7139BG000037	7342BG000703	7446BG000024
7446BG000027		
7446BG000030		

BIS_ID	BIS_ID	BIS_ID
7446BG000087		
7446BG000328		
7446BG000347		
7446BG000361		
7446BG015240		
7446BG015267		
7446BG015709		
7546BG015033		
7546BG015072		
7546BG015401		

Tab. 3: Verwendete Tiefbohrungen (österreichische Bohrungen ohne BIS-ID)

BIS_ID	Name
7540BG000003	Aich 1
7438BG001992	Altdorf GWM
7438BG015188	Altdorf TH 1
7438BG015220	Altdorf TH 2
7742BG000004	Alzgern 1
7740BG000003	Ampfing 1
7740BG000010	Ampfing 16
7740BG000021	Ampfing 26
7444BG000001	Amsham 1
7739BG000001	Angering C1
7038BG015176	Bad Abbach Kaisertherme
7544BG000007	Birnbach 1
7544BG000002	Birnbach 2
7544BG000078	Birnbach 3 (Chrysanti-Quelle)
7544BG000079	Birnbach 4 (Konrad-Quelle)
7544BG000003	Birnbach 5
7640BG000002	Bodenkirchen 1
7540BG000004	Bonbruck 1
7539BG000003	Bonbruck 2
7543BG000098	Brombach 1
7041BG000007	Buchberggruppe Brunnen 2
7041BG000008	Buchberggruppe Brunnen 3
7843BG015003	Burghausen 1
7646BG015123	Eggerding W1
7443BG000001	Emmersdorf 1
7645BG000094	Füssing 1

BIS_ID	Name
7645BG000095	Füssing 2 (Europatherme)
7645BG000096	Füssing 3 (Johannesquelle)
7745BG015028	Geinberg 1
-	Geinberg 2
7842BG000007	Gendorf 1
7943BG015013	Geretsberg 1
7843BG015238	Geretsberg 2
7640BG000003	Giftthal 1
7545BG000029	Griesbach 1 (Marienquelle)
7545BG000081	Griesbach 2 (Karlsquelle)
7545BG000030	Griesbach 3 (Nikolausquelle)
7546BG000001	Hartkirchen 1
7842BG000024	Hinterberg 1
7841BG000006	Hinterberg 2
7843BG015240	Hochburg 1
7743BG015191	Julbach 1
7743BG015198	Julbach 2
7742BG000005	Kastl 1
7742BG000006	Kastl 2
7742BG015376	Kastl 2
7742BG000007	Kastl 3-2
7644BG000001	Kirchberg 1
7740BG000040	Kirchisen 1
7039BG000035	Köfering GWM
7444BG015004	Kollmenzing FB 1
7342BG000706	Landau 1
-	Mehrnbach TH 1a
-	Mehrnbach TH2
7546BG000002	Mittich 1
7538BG000016	Münchsdorf 1
7438BG001560	Münchnerau FB
7641BG000002	Neumarkt St. Veit
-	Oberfeld 1 (Oberberg TH 2)
7646BG015090	Obernberg 1
-	Obernberg TH 2a
7445BG000001	Ortenburg FB 1
7445BG000002	Ortenburg FB 2
7544BG000006	Ortenburg CF 1001
7542BG000033	Ortenburg CF 1002
7442BG000001	Ortenburg CF 1003

BIS_ID	Name
7243BG000005	Osterhofen 1
7041BG015176	Parkstetten 1
7639BG000002	Pauluszell 1
7742BG000008	Perach CF 1
7742BG000009	Perach CF 2
7742BG000010	Perach CF 3
7742BG000011	Perach CF 4
7742BG000012	Perach CF 5
7543BG000099	Pfarrkirchen 1
7842BG000025	Pirach 1
7842BG015184	Pirach 1a
7741BG000012	Polling 1
7740BG015240	RAG Ampfing 1
6938BG000626	Regensburg Westbad
-	Reichersberg 1
-	Reichersberg 2
7641BG000003	Rott 1
7640BG000004	Salmanskirchen 1
7640BG000005	Salmanskirchen 2
7640BG000006	Salmanskirchen C3
7639BG000003	Salmanskirchen C4
7439BG015006	Salzdorf FB
7843BG015241	Schwand 1
9999BG015378	Senftenbach 1
7843BG015004	Simbach B1
7743BG000001	Simbach B2
7743BG000002	Simbach B4
7744BG000108	Simbach-Braunau TH 1
7744BG000109	Simbach-Braunau TH 2
-	St. Martin 1
-	St. Martin TH 1
-	St. Martin TH 2
7141BG000074	Straubing TH 1
7141BG000075	Straubing TH 2
7141BG000071	Straubing TH 2a
7942BG015278	Tarsdorf 1
7743BG000003	Taubenbach 1
7640BG000007	Teising 1
7641BG000004	Teising 2
7641BG000005	Teising 3
7443BG000002	Thanndorf 1
9999BG015380	Treibach 3

BIS_ID	Name
7041BG015281	Unterharthof 1
7639BG000009	Velden 3
7241BG000003	Waibling 1
7645BG015004	Weihmörting 1
7745BG015029	Weng 1
7244BG016180/7244BG01615 2	Winzer 1
7141BG000057	Wundermühle 1
7642BG000001	Wurmannsquick 1
7339BG000633	Wörth/Isar GWM
7740BG000051	Zangberg C1

Tab. 4: Verwendete seismische Profile.

Konzession	Profilname
BMI3MOGB	VG740098
BMI3MOGB	VG750142
BMI3MOGB	VG750143
BMI3MOGB	VG750144
BMI3MOGB	VG750178
BMI3MOGB	VG750179
BMI3MOGB	VG750180
BMI3MOGB	VG750181
BMI3MOGB	VG740182
LANDVILS	7482E
LANDVILS	7482W
LANDVILS	7483
LANDVILS	77245
LANDVILS	77246
LANDVILS	77247
LANDVILS	78323
LANDVILS	78324
LANDVILS	78325
PFAK	77131
PFAK	77132
PFAK	77133
PFAK	77134
PFAK	77135
PFAK	78136
PFAK	78137
PFAK	78138
PFAK	78139
VI_W	7120

Konzession	Profilname
VI_W	7121
VI_W	7122
VI_W	7123
VI_W	7124
VI_W	7125
VI_W	7352
VI_W	7353
VI_W	7361
VI_W	7362
VI_W	7363
VI_W	7364
VI_W	7365
VI_W	7493
VI_W	7495
VI_W	7497
VI_W	731200
VI_W	731203
VI_W	731204
VILS	76173
VILS	76174
VILS	76175
VILS	76176
VILS	76177



Geologisches 3D-Modell Niederbayern

Anhang 2: Ergebnisse der Modellierung

- Streichlinienkarten**
- Mächtigkeitskarten**

1 Streichlinienkarten

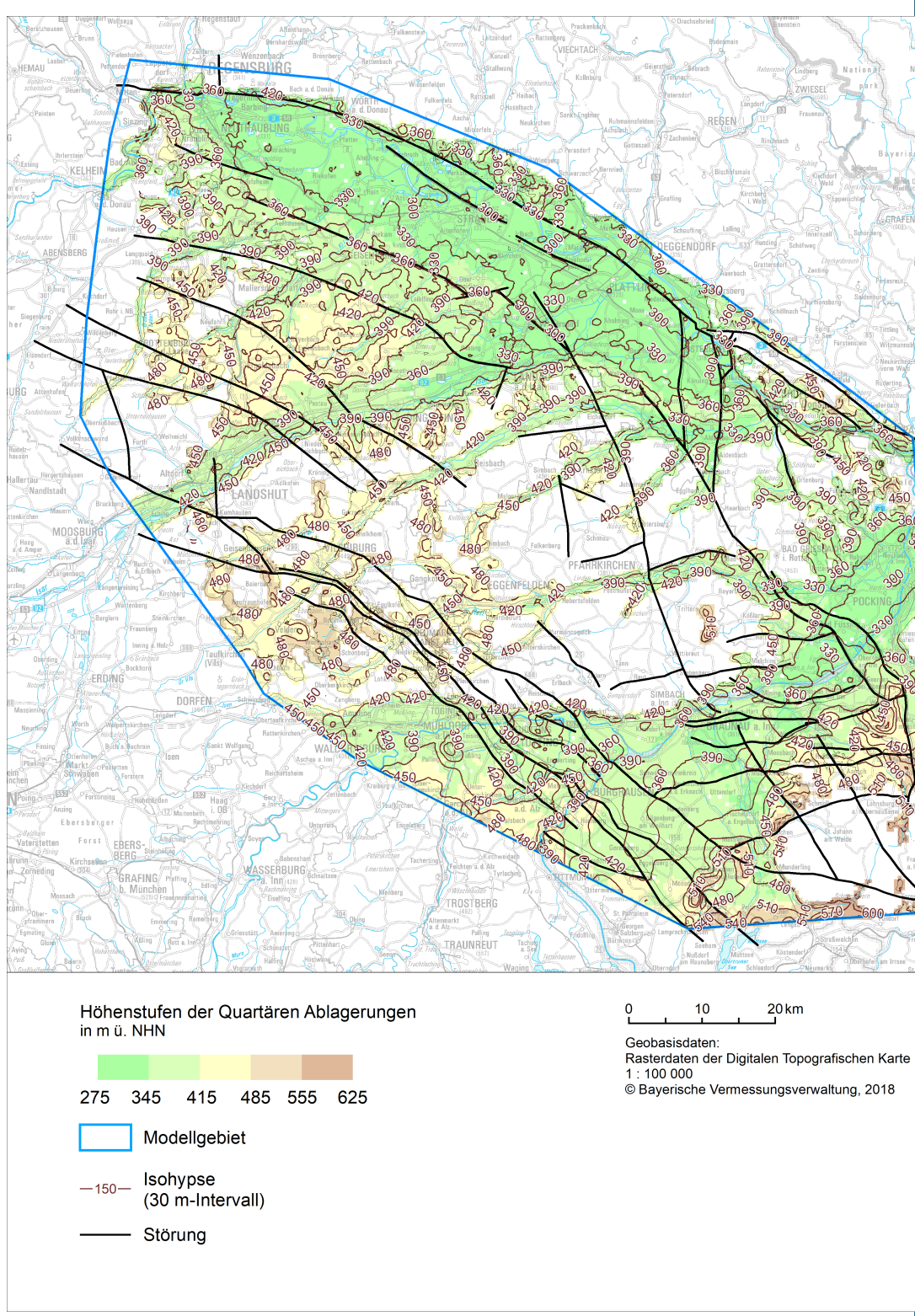


Abb. 1: Streichlinienkarte der modellierten Quartärbasis (Angaben in m ü. NN).

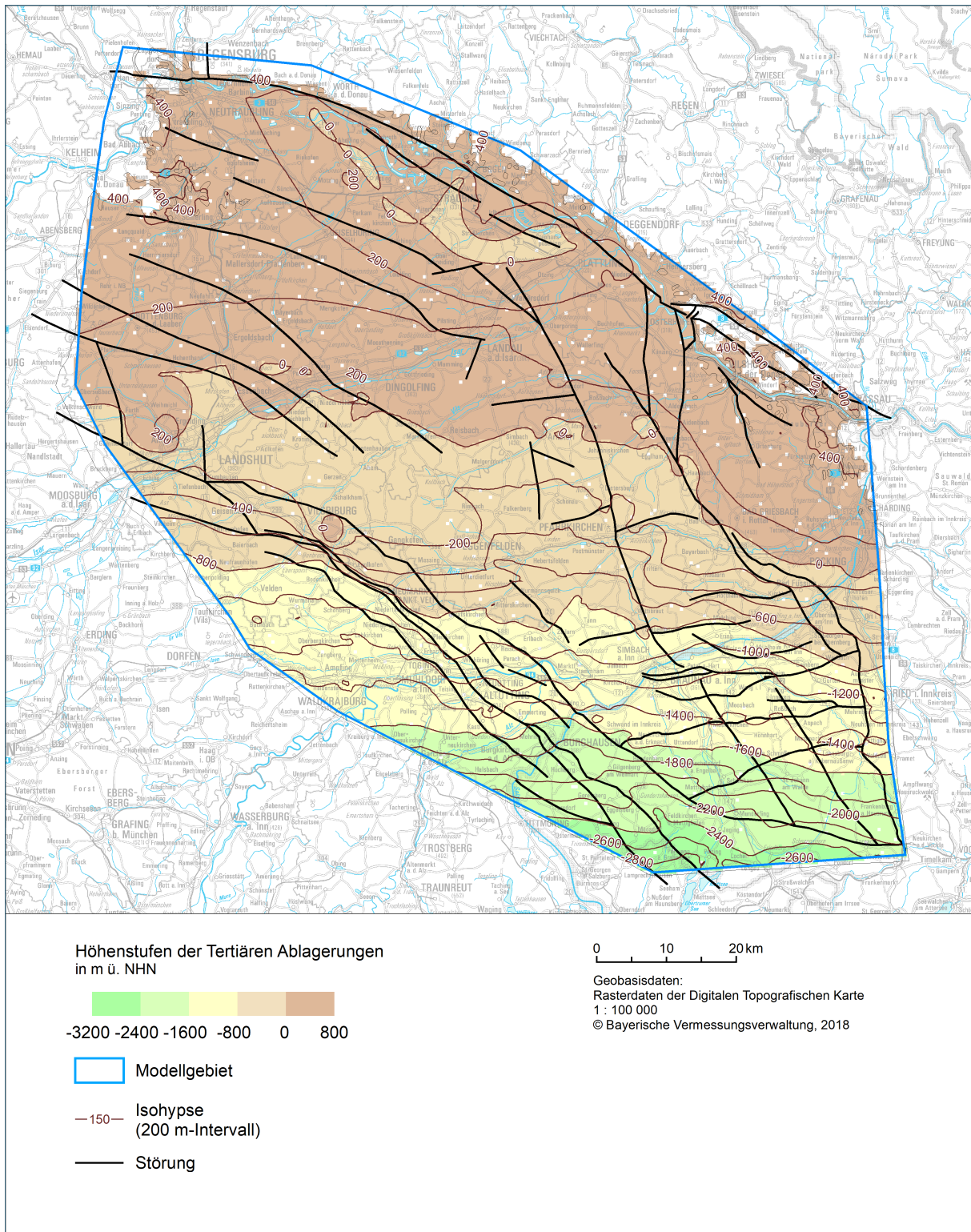


Abb. 2: Streichlinienkarte der modellierten Tertiärbasis (Angaben in m ü. NN).

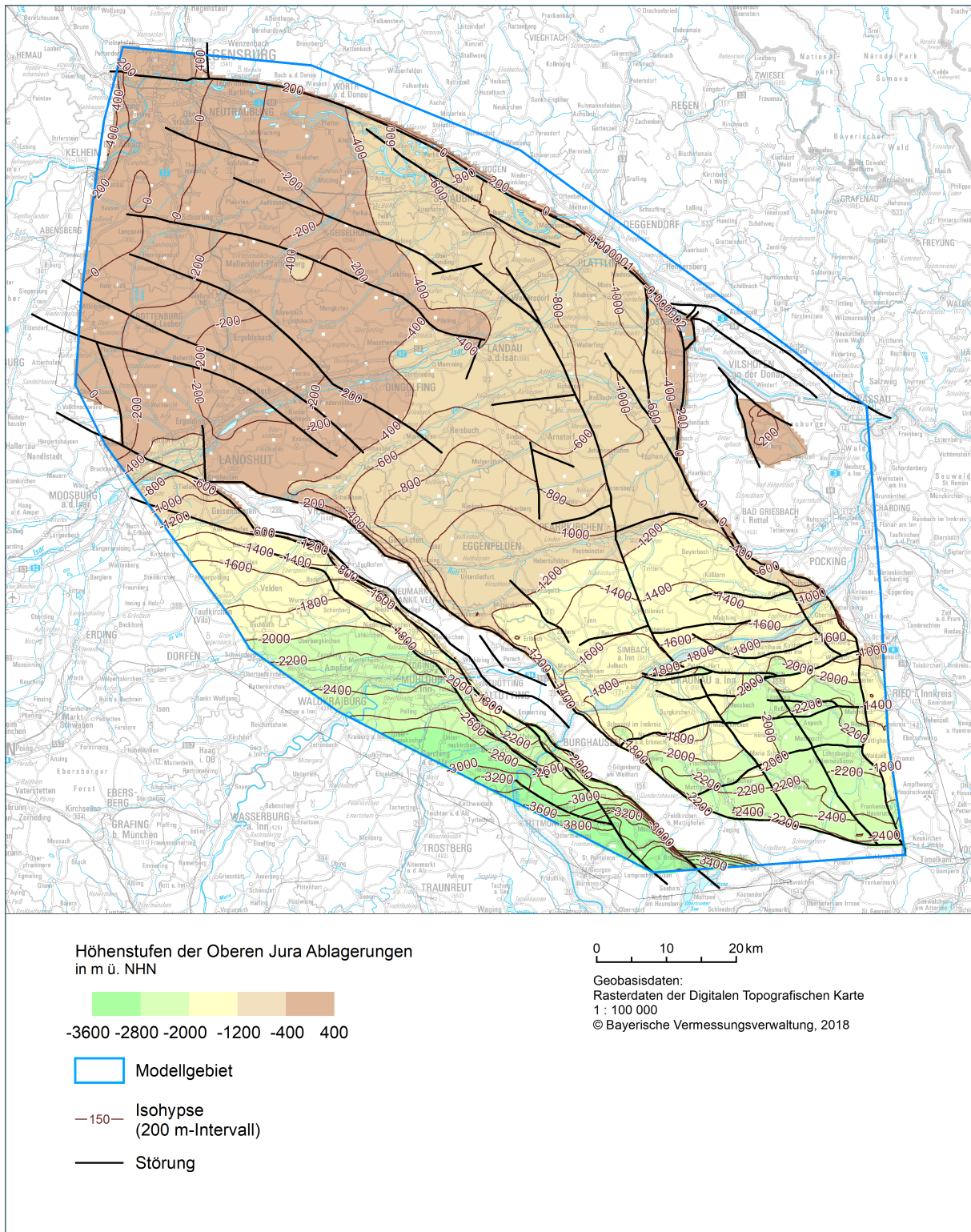


Abb. 4: Streichlinienkarte der modellierten Oberer Jurabasis (Angaben in m ü. NN).

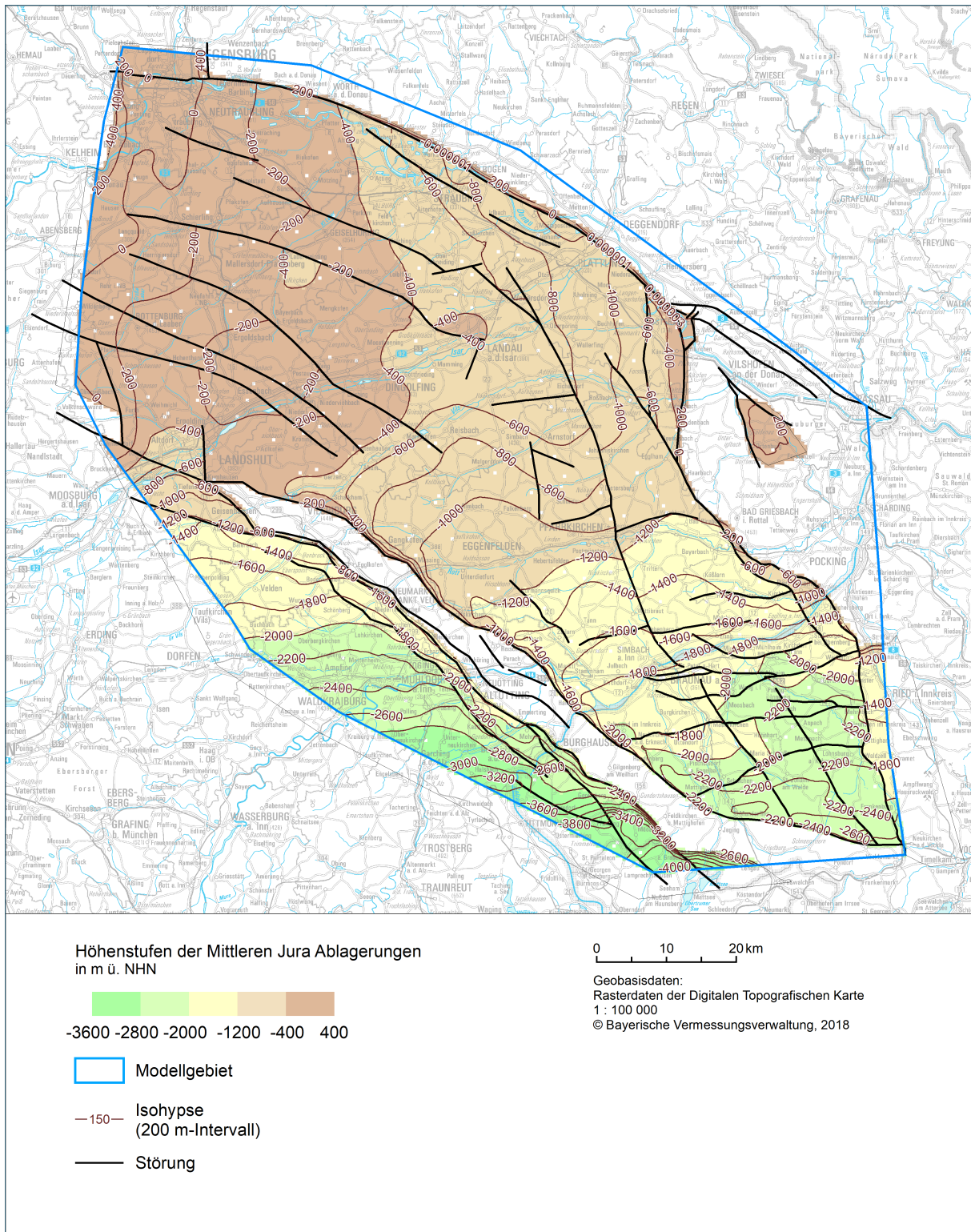


Abb. 5: Streichlinienkarte der modellierten Mittlerer Jurabasis (Angaben in m ü. NN).

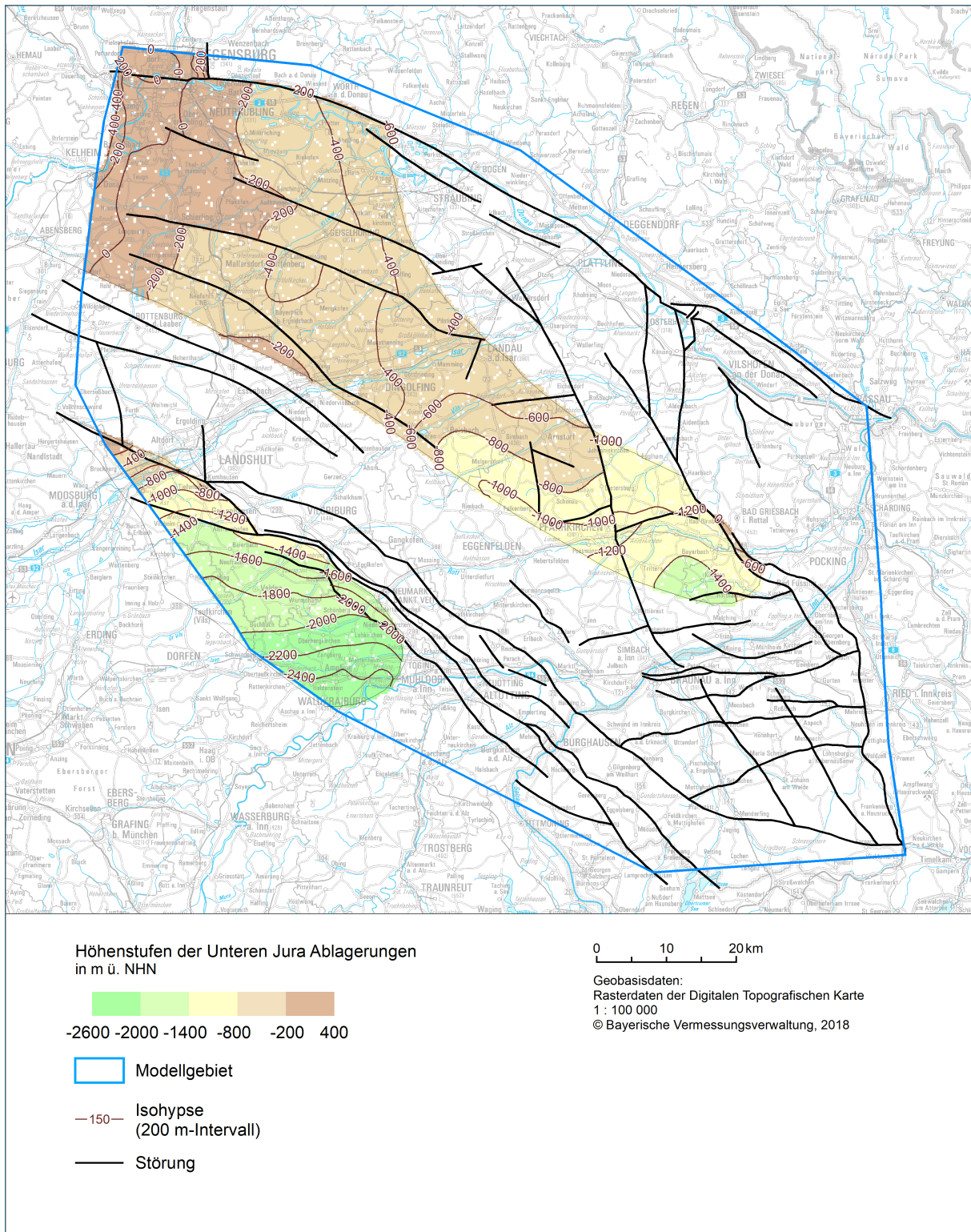


Abb. 6: Streichlinienkarte der modellierten Unterer Jurabasis (Angaben in m ü. NN).

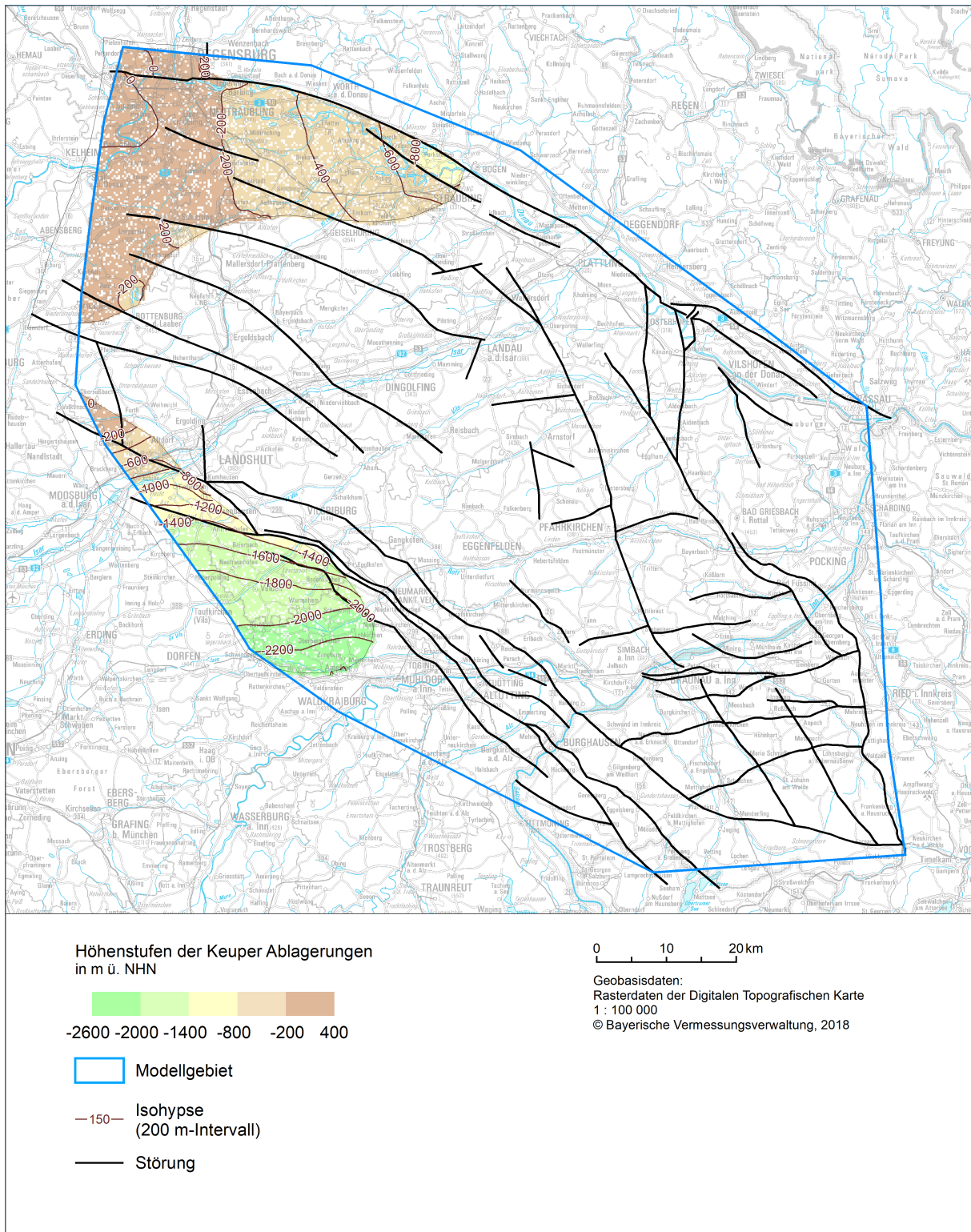


Abb. 7: Streichlinienkarte der modellierten Keuperbasis (Angaben in m ü. NN).

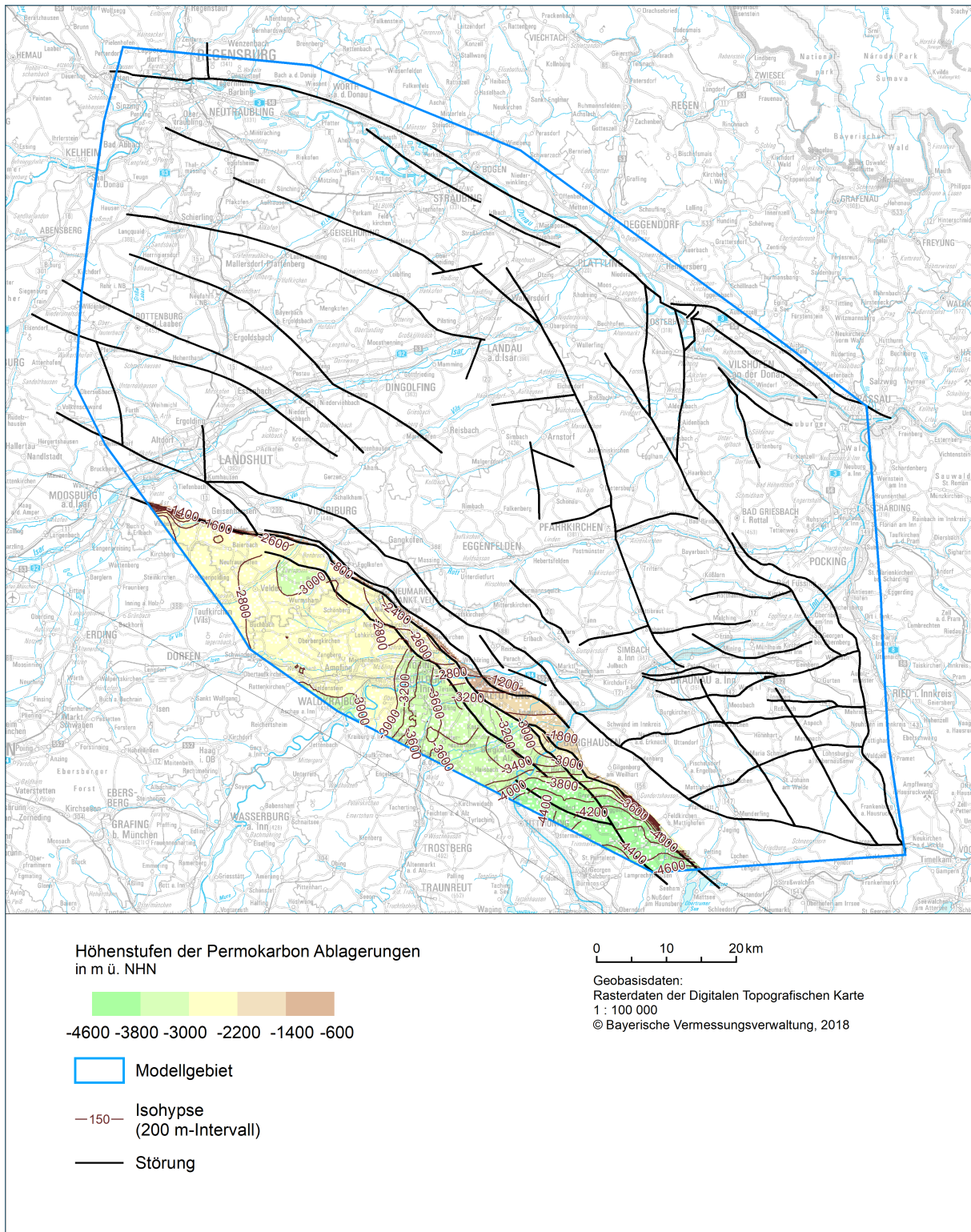


Abb. 8: Streichlinienkarte der modellierten Permokarbonbasis (Angaben in m ü. NN).

2 Mächtigkeitkarten

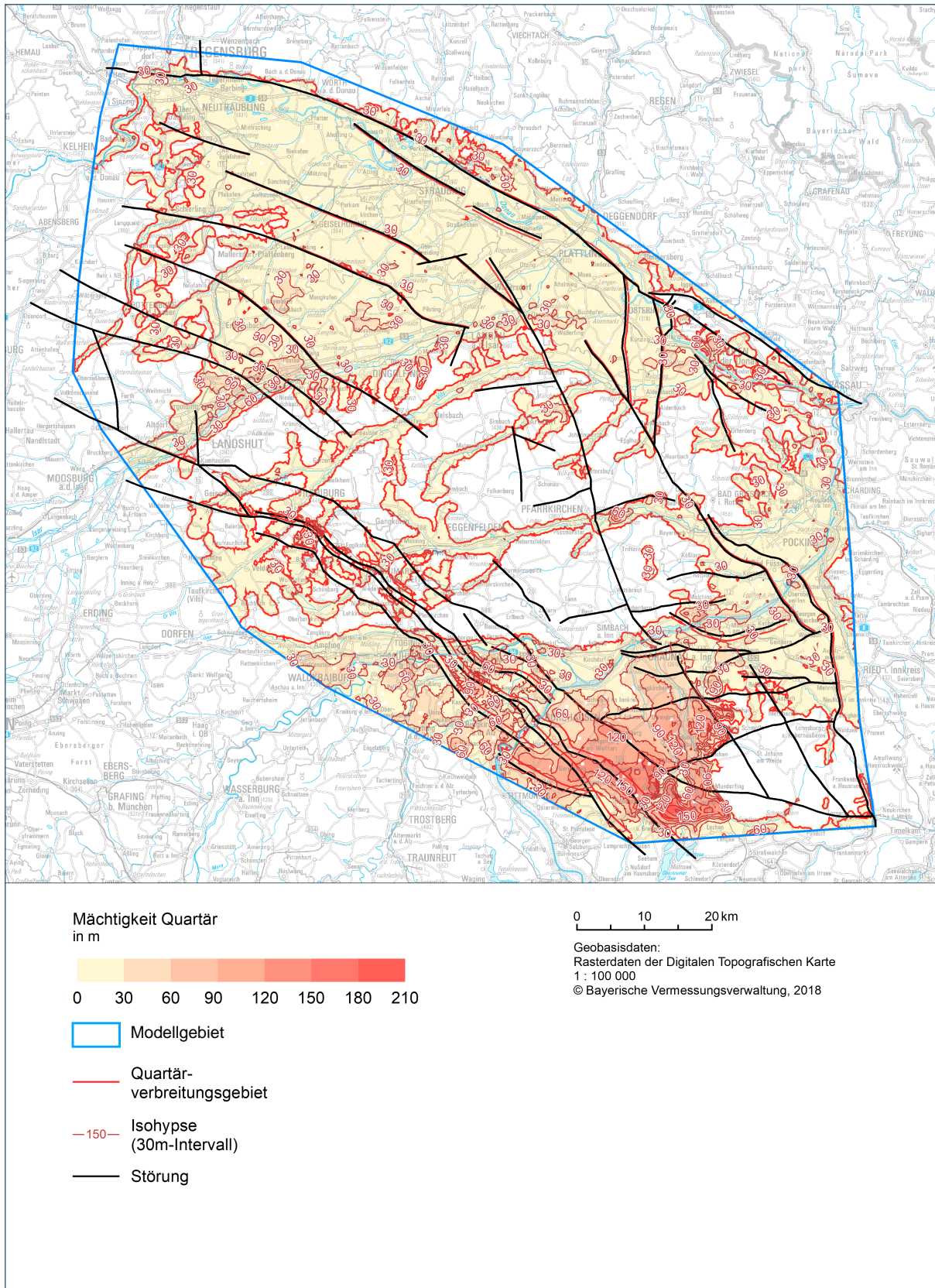


Abb. 9: Modellierter Mächtigkeit Quartär (q) (Angaben in m).

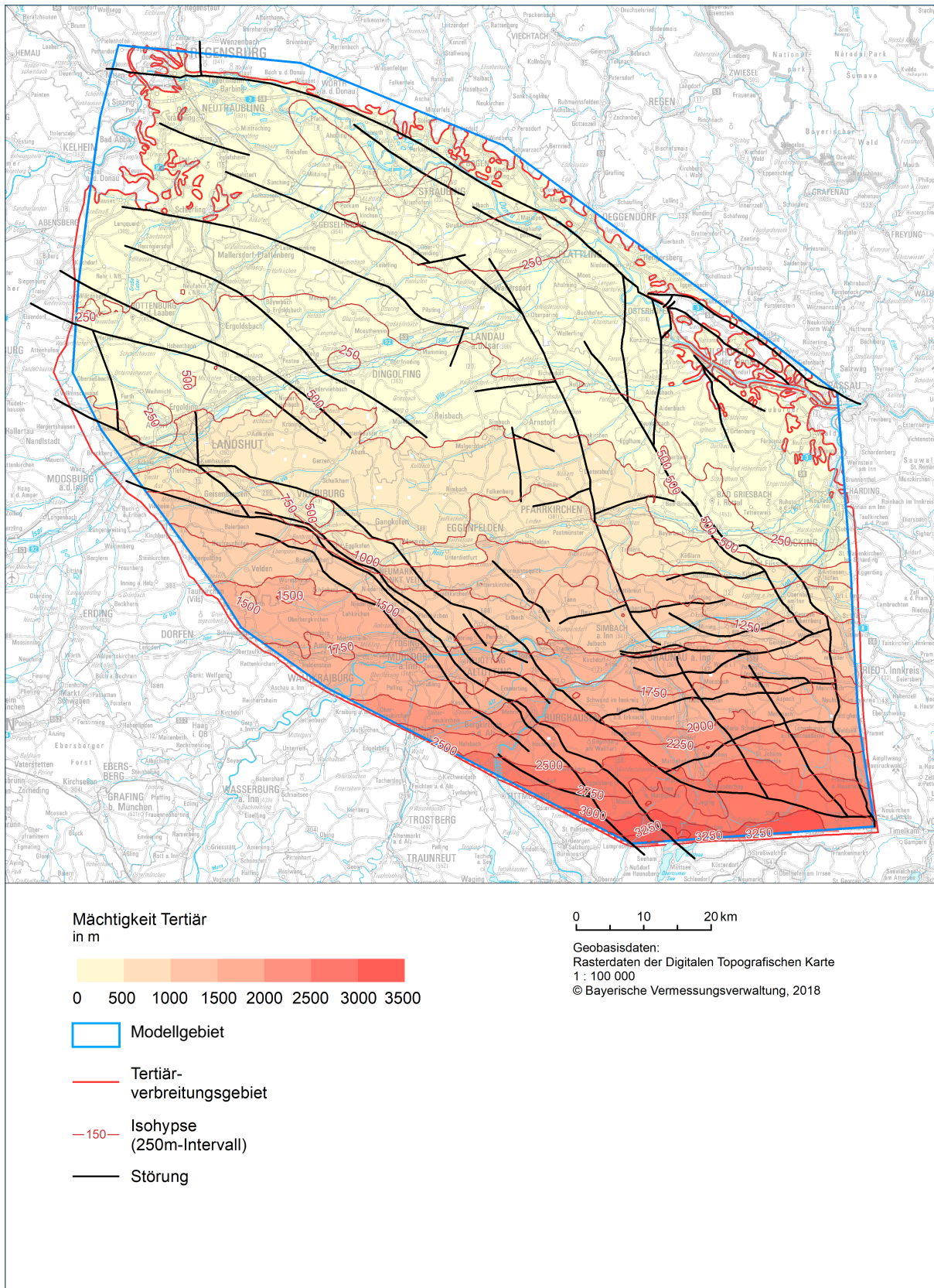


Abb. 10: Modellierter Mächtigkeit Tertiär (t) (Angaben in m).

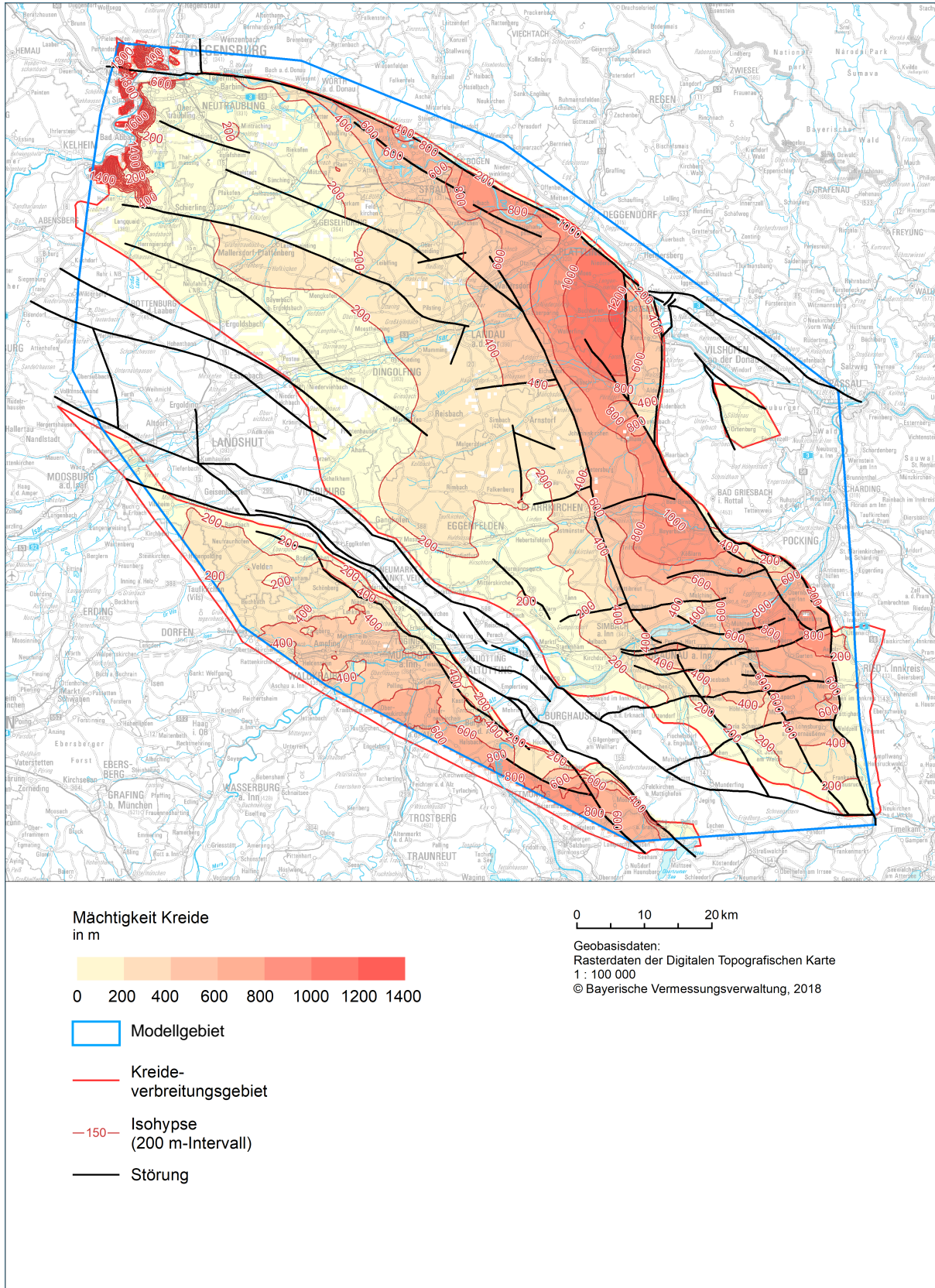


Abb. 11: Modellierte Mächtigkeit Kreide (kr) (Angaben in m).

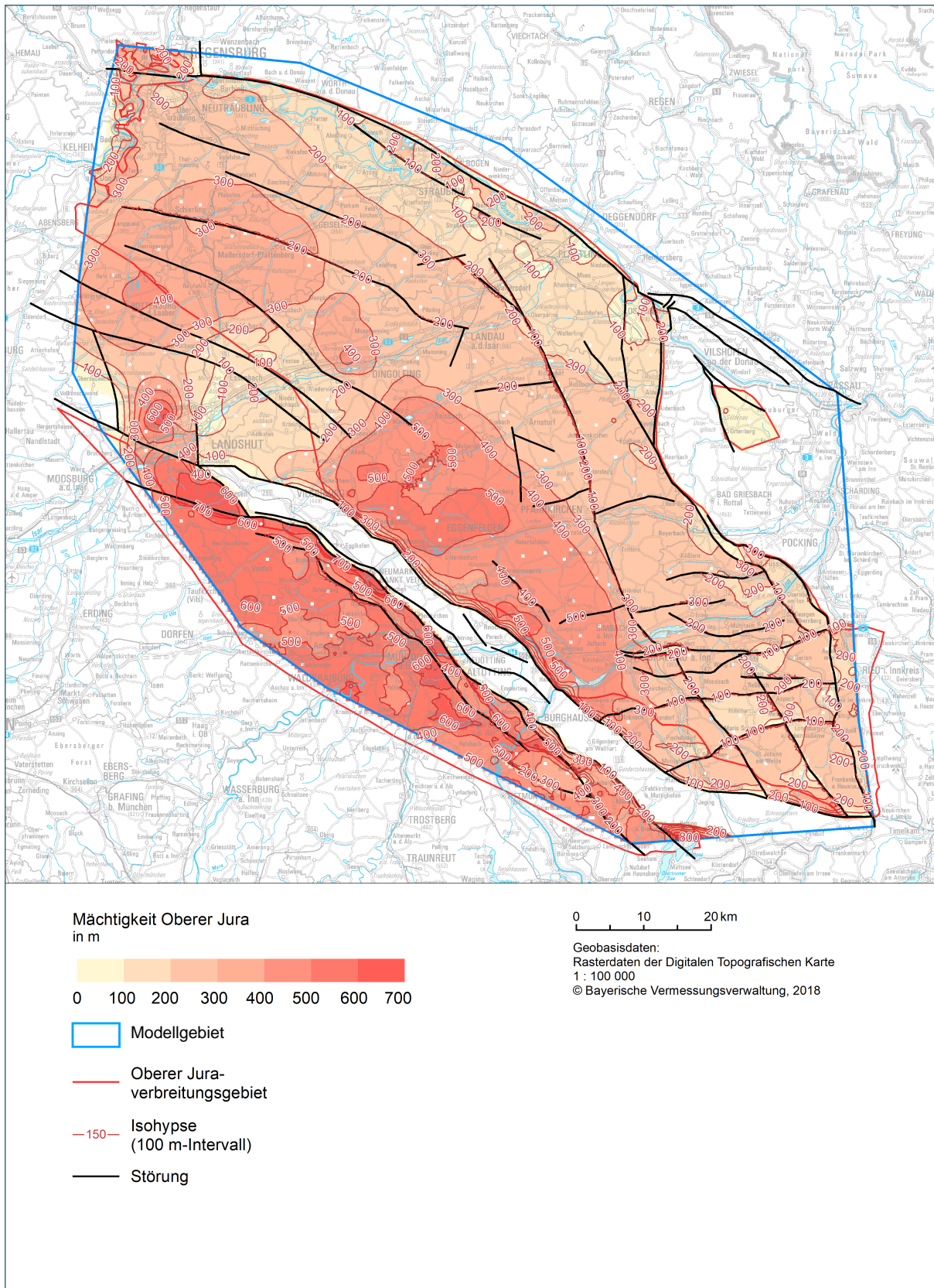


Abb. 12: Modellierte Mächtigkeit Oberer Jura (jo) (Angaben in m).

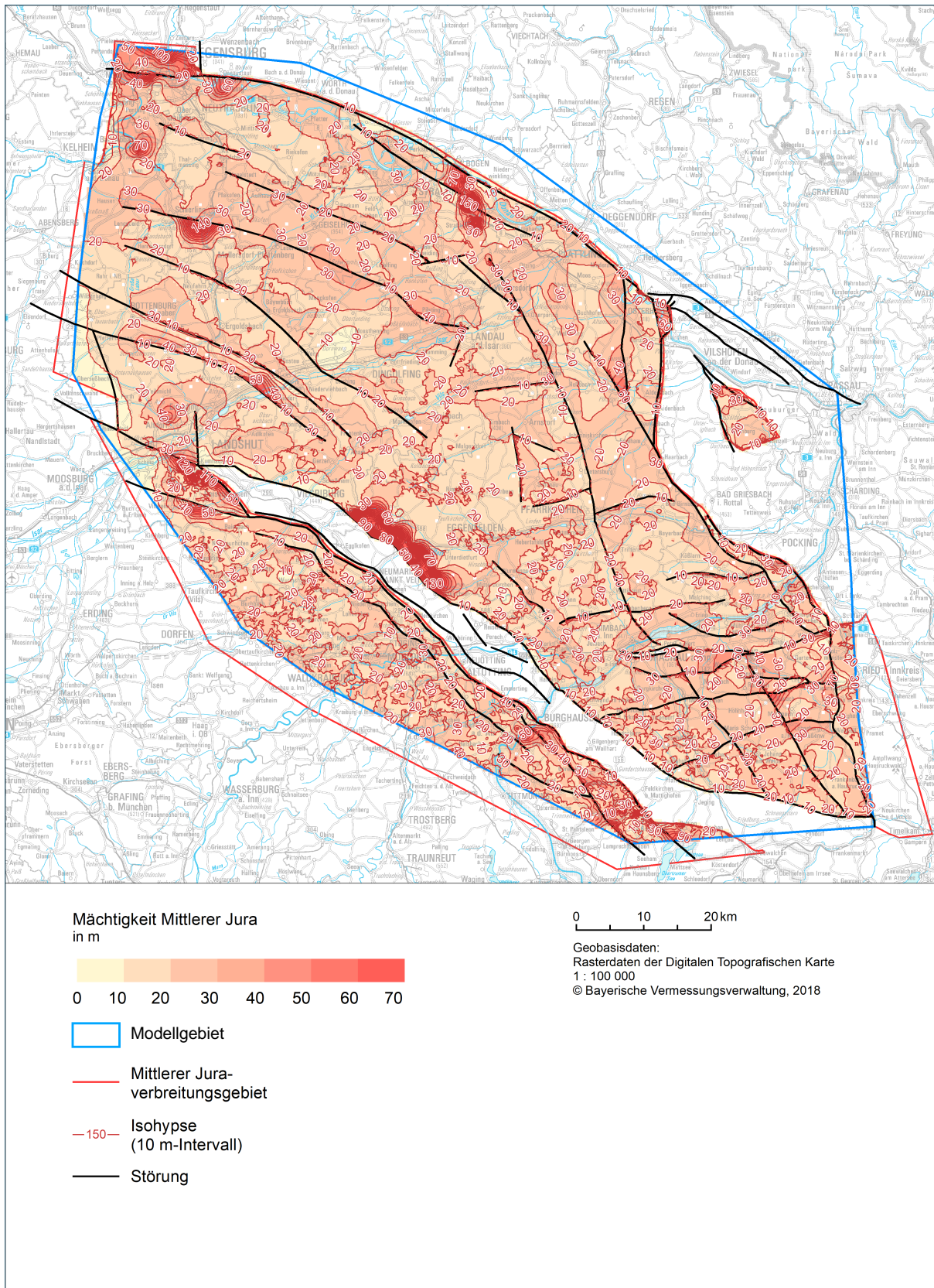


Abb. 13: Modellierte Mächtigkeit Mittlerer Jura (jm) (Angaben in m).

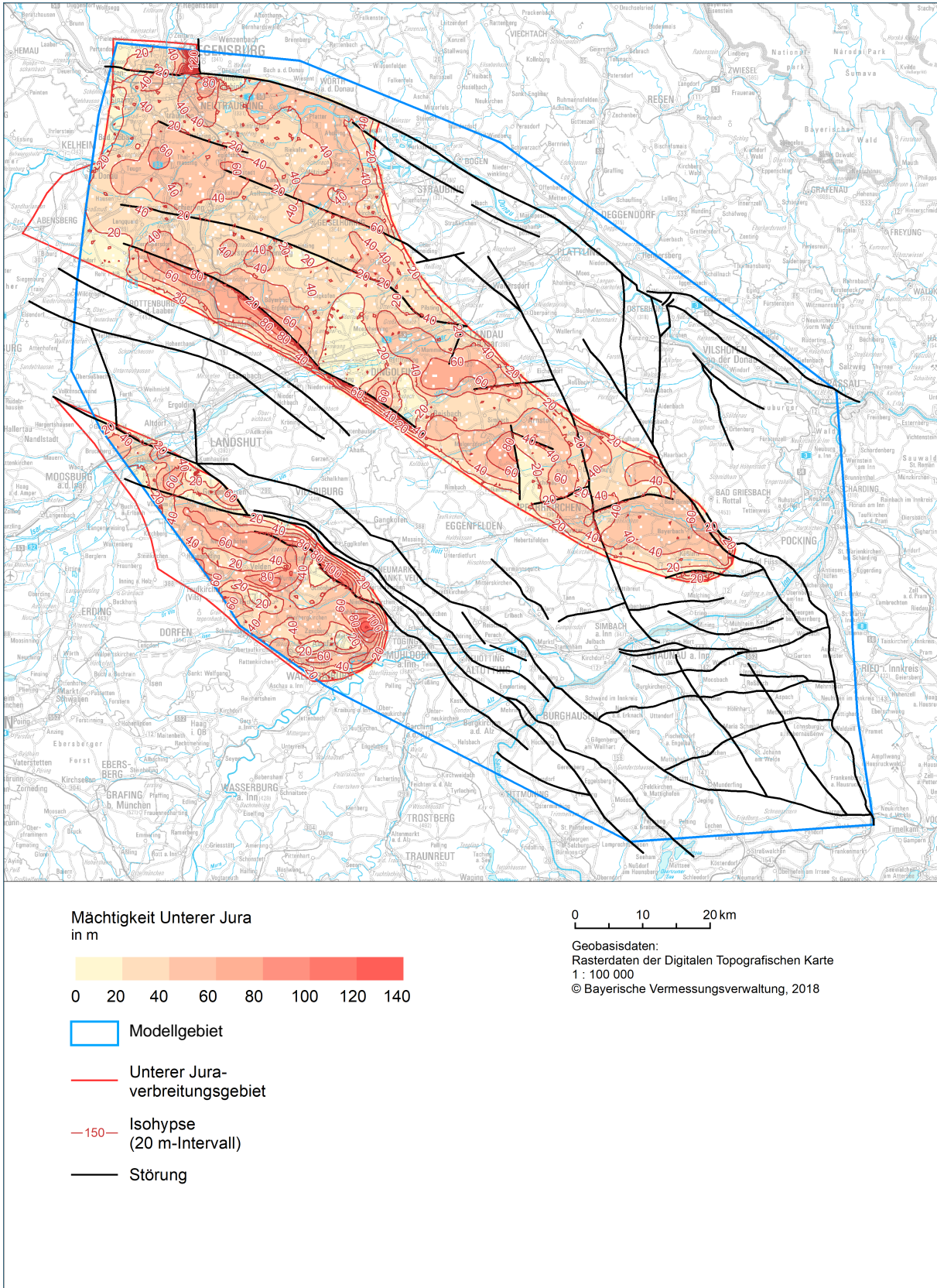


Abb. 14: Modellierte Mächtigkeit Unterer Jura (ju) (Angaben in m).

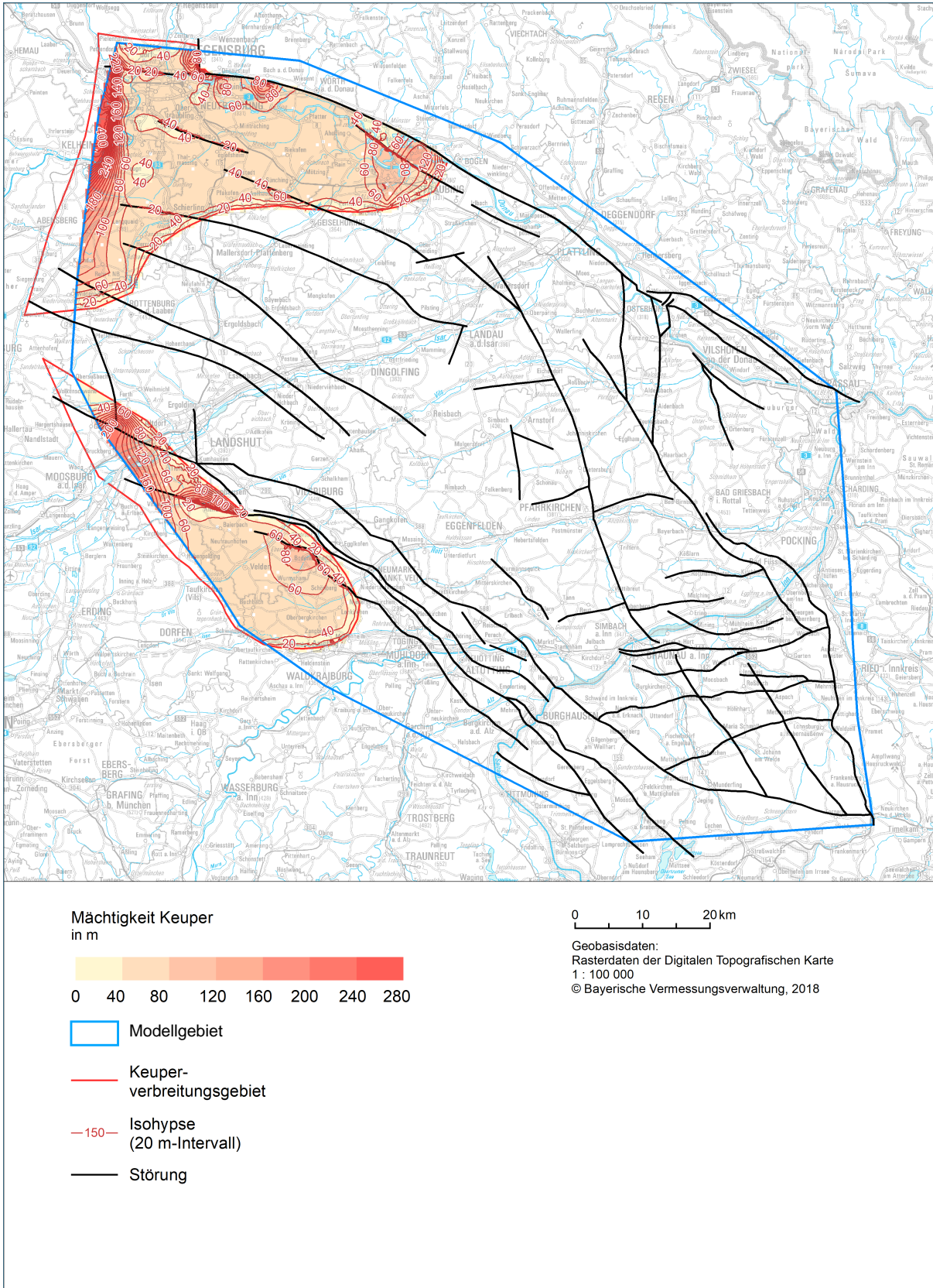


Abb. 15: Modellierter Mächtigkeit Keuper (k) (Angaben in m).

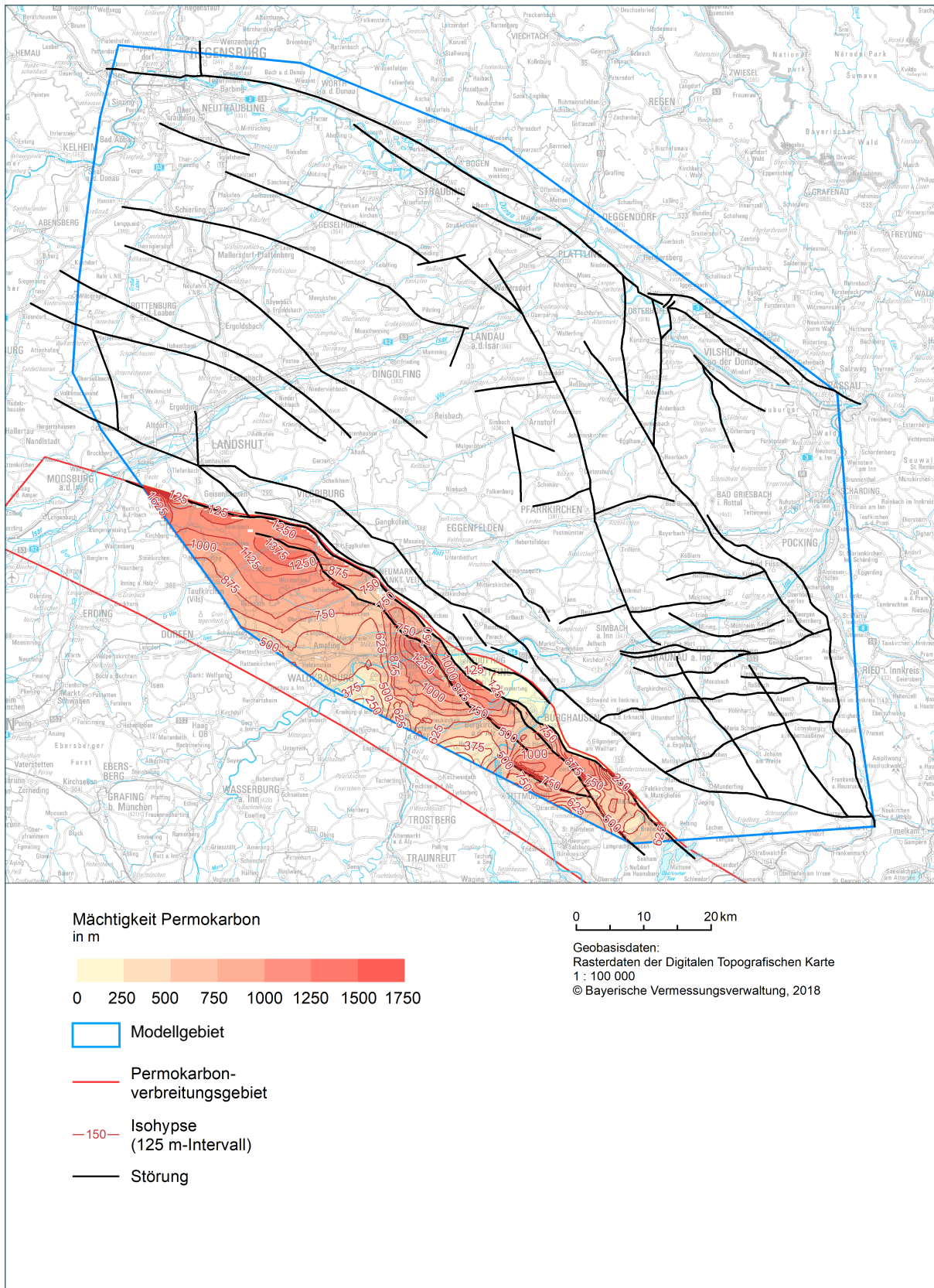


Abb. 16: Modellierter Mächtigkeit Permokarbon (pc) (Angaben in m).



Eine Behörde im Geschäftsbereich
Bayerisches Staatsministerium für
Umwelt und Verbraucherschutz

